



HILITE[®]
INTERNATIONAL

Layout of a smart actuator for automotive thermal management

C. Hugel

Friday, 24.06.2022

Ansys

WOST

WORKSHOP
2022

Agenda

1. Very short introduction of Hilite
2. Introduction to the PMSM
3. Sensitivity analysis of the Motor
4. Optimization with OptiSLang
5. Tolerance based sensitivity analysis
6. Conclusion



- automotive company
- founded in 1930
- about 1700 employees
- 9 locations on 3 continents
- 550 Mio. € turnover



Engine applications



Transmission applications



VCR system



Thermal Management

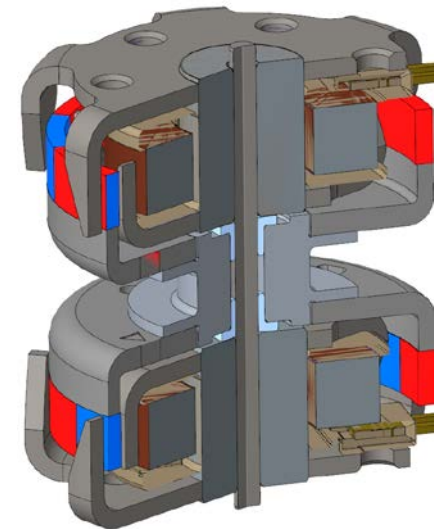
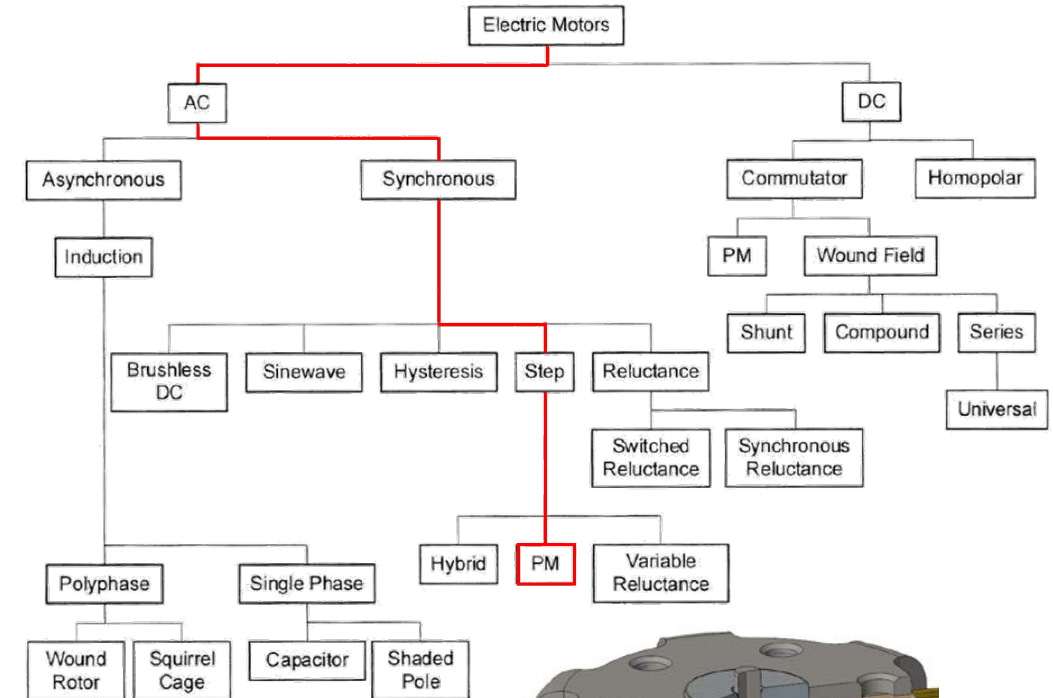


Introduction

Task, starting conditions and system setup

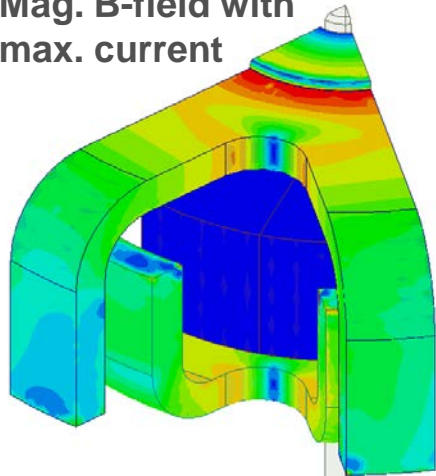


- Developments at Hilite Germany include valves for thermal management with specific demands
- Besides piston and transmission, the electric machine is the most important part of the valve
- For well operating valve, the right electric machine has to be chosen
- Hilite is using a PMSM
“Permanemt Magnet Synchronous Motor”

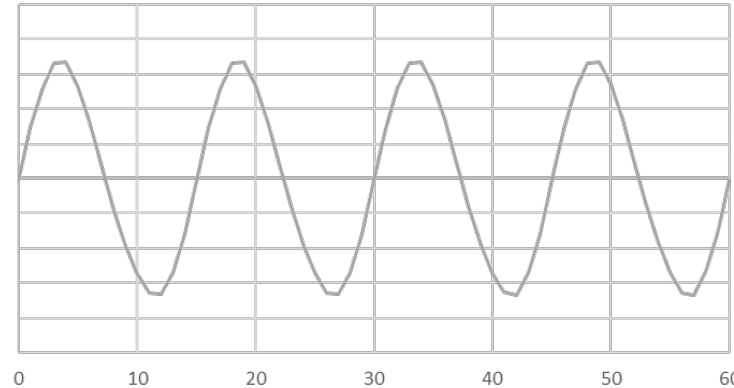


03 Starting condition

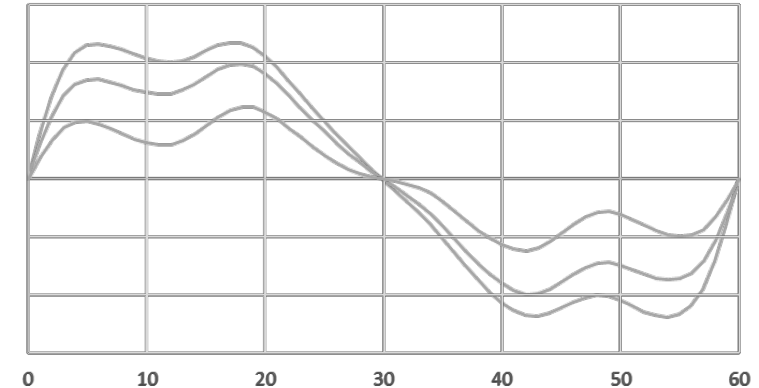
Mag. B-field with max. current



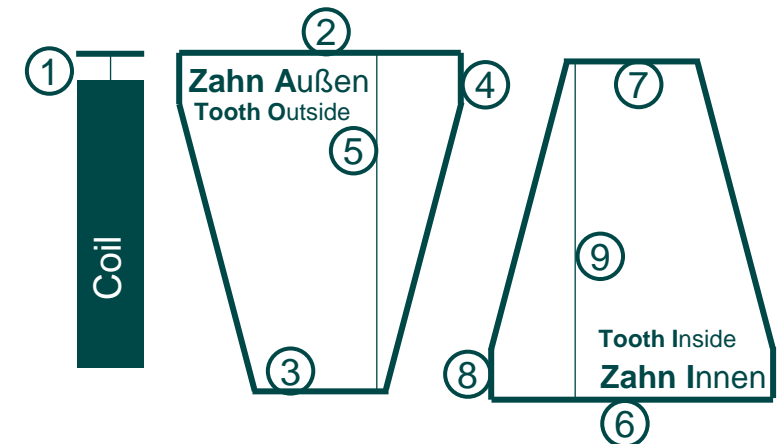
Cogging Torque



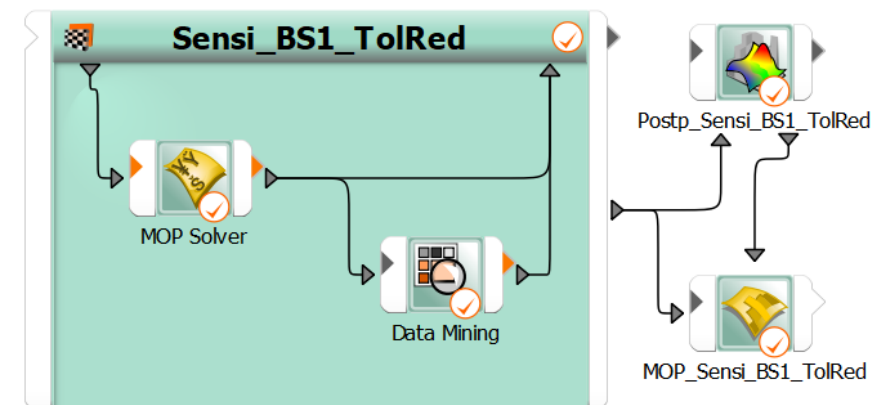
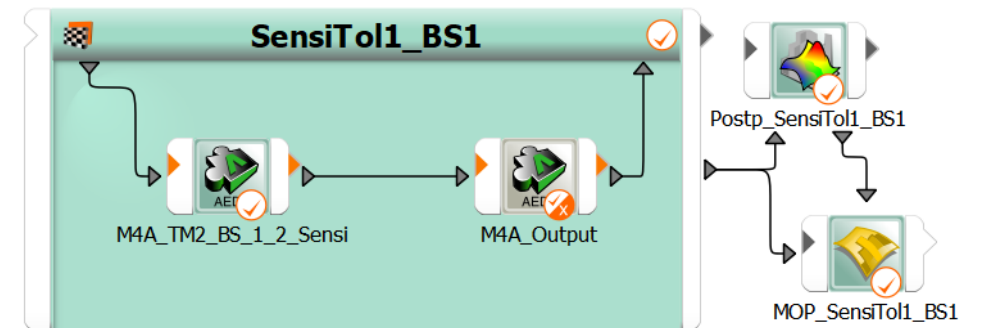
Torque



- Reference design with straight "teeth" for stator outside and inside
- 60°-periodic half model to minimize calculation time
- Quasistatic transient calculation with rotation angle over time
- Different applied electric currents to allow all optimizations
- Variation of the shape of the teeth to positively influence the characteristic curve of the torque (9 parameters)



- Computation of torque for Stepper-Motor in ANSYS Maxwell (AEDT)
- Usage of the ANSYS AEDT integration for OptiSLang
- AEDT-OptiSLang setup with separated output for more flexible postprocessing
- Custom simulation solver mode with script to prevent single runs

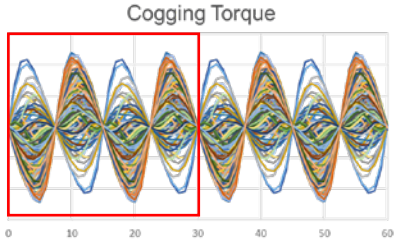


First sensitivity analysis

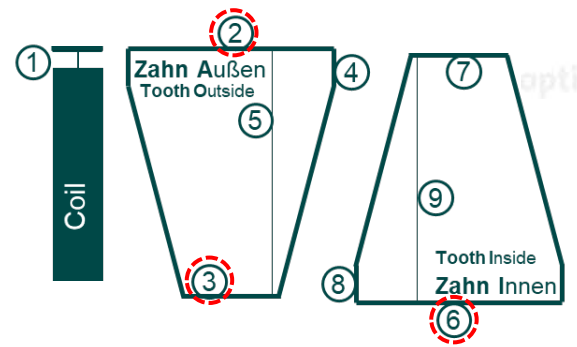
Influence on cogging and maximum torque



05 Sensi. tooth – Cogging torque

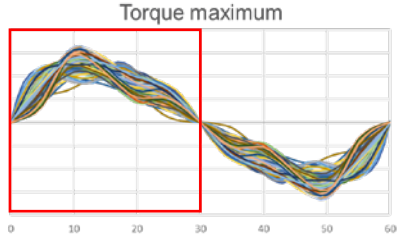


	W00	W01	W02	W03	W04	W05	W06	W07	W08	W09	W10	W11	W12	W13	W14	W15	W16	W17	W18	W19	W20	W21	W22	W23	W24	W25	W26	W27	W28	W29	W30
① Spulenverschiebung	0.0 %																														2.4 %
② Zahn_A_breite_Basis	6.9 %	32.8 %	33.2 %	34.3 %	35.3 %	38.0 %	40.6 %	41.8 %	37.8 %	41.0 %	38.5 %	34.7 %	33.8 %	35.2 %	33.6 %	8.4 %	33.2 %	32.6 %	34.4 %	35.4 %	39.2 %	41.9 %	42.2 %	37.1 %	40.3 %	37.8 %	34.2 %	35.3 %	33.1 %	34.7 %	7.4 %
③ Zahn_A_breite_Spitze	4.0 %	15.4 %	15.4 %	15.4 %	16.0 %	17.2 %	17.7 %	16.3 %	16.9 %	16.7 %	15.5 %	15.7 %	16.2 %	15.2 %	15.6 %	1.3 %	15.3 %	15.5 %	15.9 %	16.5 %	17.1 %	16.3 %	17.4 %	16.2 %	16.3 %	15.7 %	15.4 %	15.8 %	14.8 %	14.8 %	
④ Zahn_A_hoehe_Basis	5.5 %	4.3 %	5.0 %	4.3 %	4.1 %	4.0 %	4.3 %	4.0 %	3.2 %	3.9 %	3.8 %	4.1 %	3.9 %	4.5 %	5.1 %	4.5 %	3.1 %	4.3 %	3.9 %	3.8 %	3.4 %	4.4 %	3.9 %	2.6 %	4.0 %	4.5 %	3.9 %	4.3 %	4.9 %	5.0 %	5.8 %
⑤ Zahn_A_hoehe_gesamt	2.6 %	0.2 %	1.2 %	1.2 %	1.4 %	1.6 %	1.4 %	1.2 %	1.2 %	1.3 %	1.4 %	1.3 %	1.4 %	1.2 %	1.3 %	8.8 %	0.3 %	1.4 %	1.3 %	1.3 %	1.4 %	1.5 %	0.9 %	1.2 %	1.4 %	1.2 %	1.2 %	1.1 %	1.1 %	1.2 %	1.0 %
⑥ Zahn_I_breite_Basis	0.0 %	50.8 %	53.4 %	53.5 %	53.6 %	50.2 %	46.4 %	43.2 %	45.1 %	47.2 %	50.4 %	53.3 %	53.5 %	52.3 %	48.3 %	0.5 %	50.6 %	51.5 %	53.4 %	53.9 %	50.6 %	46.8 %	43.6 %	45.7 %	48.3 %	50.3 %	51.8 %	53.7 %	51.3 %	50.0 %	
⑦ Zahn_I_breite_Spitze	1.8 %	9.3 %	9.0 %	7.5 %	6.3 %	5.7 %	4.5 %	4.8 %	4.9 %	5.1 %	5.5 %	6.9 %	7.1 %	7.9 %	7.8 %	0.0 %	9.5 %	9.3 %	7.6 %	6.3 %	5.0 %	4.7 %	5.5 %	5.4 %	4.6 %	5.4 %	6.7 %	7.2 %	7.9 %	8.8 %	3.7 %
⑧ Zahn_I_hoehe_Basis	4.9 %	1.5 %	1.4 %	1.9 %	2.0 %	1.5 %	1.0 %		1.0 %	1.0 %	1.6 %	1.8 %	2.2 %	1.6 %	1.5 %	7.4 %	1.6 %	1.8 %	1.9 %	1.7 %	1.6 %	1.3 %		0.8 %	1.2 %	1.5 %	1.9 %	2.0 %	1.9 %	1.4 %	7.1 %
⑨ Zahn_I_hoehe_gesamt	0.0 %				0.3 %						0.1 %										0.3 %						0.0 %				
Total	7.8 %	90.9 %	95.1 %	96.4 %	96.8 %	95.4 %	93.7 %	89.6 %	87.1 %	92.8 %	95.3 %	96.7 %	96.3 %	94.7 %	90.8 %	10.6 %	90.8 %	95.1 %	96.4 %	96.8 %	95.4 %	93.6 %	89.4 %	87.2 %	92.8 %	95.4 %	96.7 %	96.3 %	94.7 %	90.8 %	8.5 %

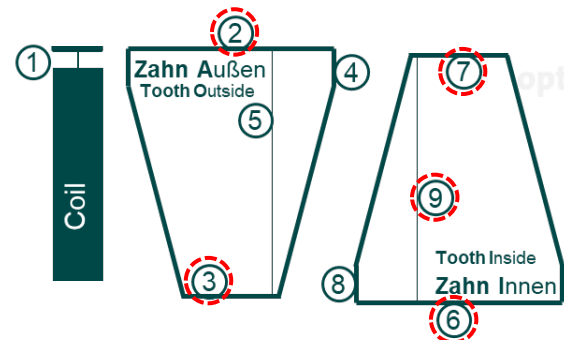


Area of extreme values

05 Sensi. tooth – Torque maximum



	W0	W1	W2	W3	W4	W5	W6	W7	W8	W9	W10	W11	W12	W13	W14	W15	W16	W17	W18	W19	W20	W21	W22	W23	W24	W25	W26	W27	W28	W29	W30		
① Spulenverschiebung																																	1.8 %
② Zahn_A_breite_Basis	5.2 %	40.4 %	43.2 %	44.6 %	48.8 %	53.6 %	59.0 %	55.2 %	42.3 %	31.2 %	29.2 %	27.7 %	28.2 %	29.5 %	30.7 %	33.0 %	39.0 %	40.6 %	43.8 %	43.0 %	49.1 %	53.7 %	57.8 %	61.6 %	59.9 %	55.1 %	51.7 %	47.6 %	45.8 %	43.8 %	7.1 %		
③ Zahn_A_breite_Spitze		13.3 %	13.8 %	15.1 %	15.9 %	16.6 %	16.5 %	19.0 %	22.6 %	19.9 %	16.1 %	15.5 %	15.3 %	14.1 %	13.1 %	11.1 %	7.9 %	6.0 %	4.1 %	3.7 %	2.3 %	1.5 %	1.8 %	6.9 %	13.8 %	18.6 %	17.9 %	16.9 %	16.9 %	17.1 %	4.7 %		
④ Zahn_A_hoehe_Basis		3.2 %	3.9 %	3.0 %	3.0 %	3.2 %	2.7 %	2.4 %	3.3 %	3.4 %	2.9 %	2.5 %	2.6 %	2.6 %	1.8 %	0.4 %	0.0 %	0.5 %	0.9 %	0.9 %	0.3 %	0.0 %		1.1 %	2.7 %	3.2 %	3.5 %	3.8 %	3.6 %	3.6 %	1.5 %		
⑤ Zahn_A_hoehe_gesamt		0.0 %	0.0 %	0.0 %	0.0 %	0.0 %	0.3 %	2.1 %	4.4 %	3.3 %	2.8 %	2.2 %	2.4 %	2.6 %	2.2 %	3.0 %	2.6 %	2.8 %	1.8 %	1.4 %	0.8 %	0.8 %	0.6 %	1.4 %	2.3 %	2.9 %	2.3 %	1.9 %	1.6 %	1.7 %	3.9 %		
⑥ Zahn_I_breite_Basis		39.8 %	40.6 %	38.2 %	36.7 %	32.4 %	26.1 %	21.1 %	28.7 %	39.6 %	43.6 %	45.2 %	42.5 %	37.0 %	27.4 %	19.2 %	23.8 %	38.1 %	44.4 %	49.1 %	48.0 %	44.4 %	38.7 %	29.4 %	23.7 %	25.2 %	30.9 %	35.5 %	38.9 %	40.8 %			
⑦ Zahn_I_breite_Spitze	0.3 %	7.3 %	7.3 %	6.8 %	6.1 %	5.7 %	6.2 %	8.0 %	12.5 %	13.7 %	14.5 %	15.6 %	17.9 %	19.3 %	22.1 %	20.7 %	15.1 %	7.9 %	4.3 %	0.9 %	0.0 %	0.6 %	1.3 %	4.3 %	8.7 %	10.9 %	11.5 %	11.1 %	10.0 %	10.2 %	6.2 %		
⑧ Zahn_I_hoehe_Basis		1.3 %	1.4 %	1.4 %	1.4 %	0.5 %	0.1 %	0.0 %	0.6 %	1.7 %	1.9 %	2.3 %	2.1 %	2.1 %	1.7 %	1.2 %	0.3 %		0.0 %				0.0 %	0.4 %	0.6 %	1.0 %	1.3 %	1.1 %	1.1 %				
⑨ Zahn_I_hoehe_gesamt		0.0 %	0.3 %	0.3 %	0.7 %	1.0 %	1.7 %	4.6 %	7.7 %	7.6 %	7.3 %	7.3 %	8.8 %	10.6 %	15.7 %	21.4 %	19.9 %	13.7 %	10.1 %	7.1 %	6.3 %	5.6 %	6.6 %	7.7 %	7.3 %	6.2 %	4.1 %	3.7 %	2.8 %	1.7 %			
Total	5.6 %	94.6 %	96.8 %	97.4 %	97.9 %	97.8 %	97.4 %	97.3 %	94.9 %	93.1 %	94.7 %	96.5 %	96.9 %	96.8 %	97 %	98.2 %	97.4 %	97.5 %	98 %	98.5 %	98.7 %	98.9 %	99.1 %	98.2 %	96.3 %	96.1 %	96.7 %	96 %	94.6 %	90.8 %	8.2 %		



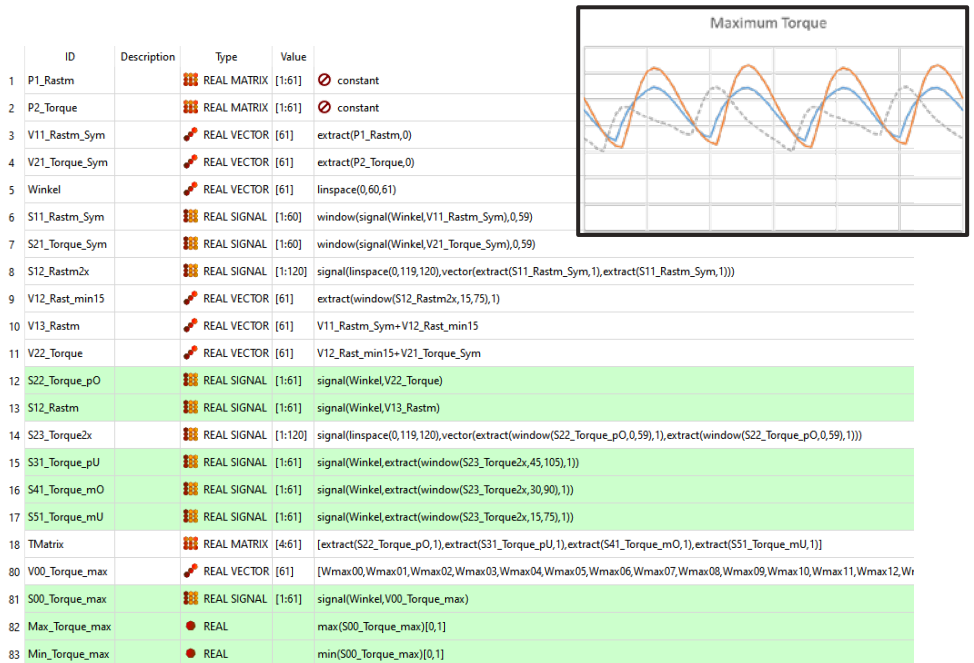
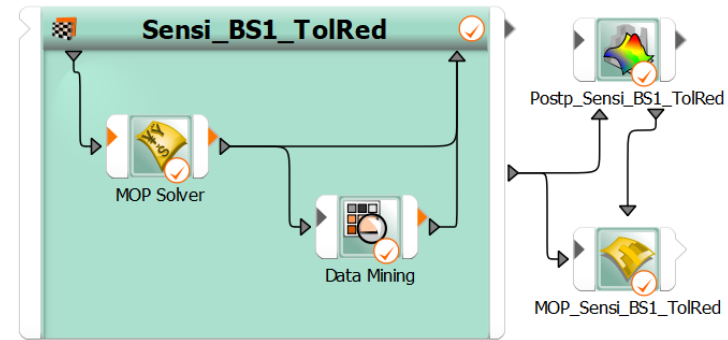
Area of extreme values

Optimizations

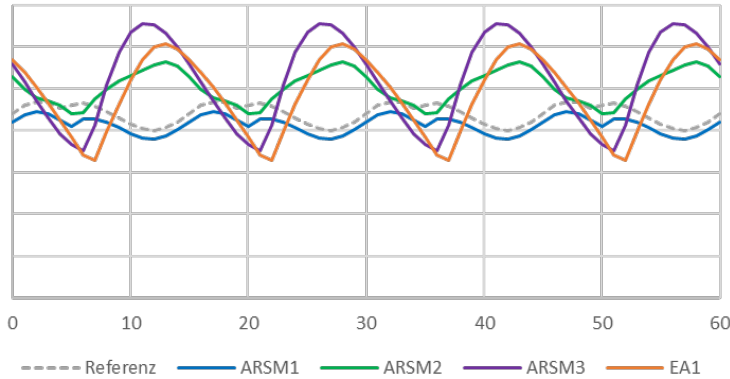
Changing shape and extrema of the torque



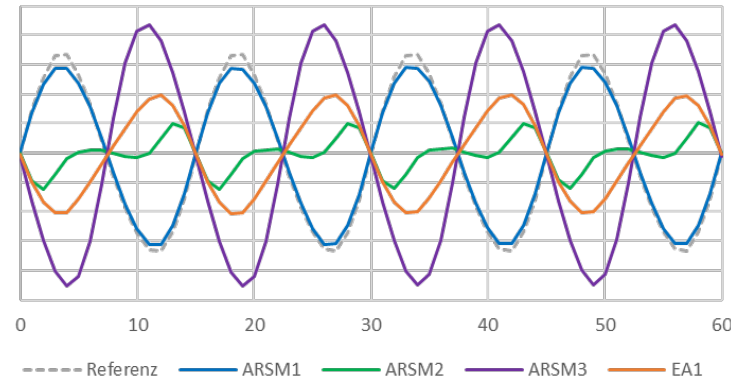
- Variables in Data Mining
 - Creation of full model torque curves
 - Optimization objectives
- Optimization of the maximum torque curve
- Different Optimization runs with “ARSM” and “EA”
 - Minimization of cogging torque
 - Maximization of max. torque
 - Maximization of torque combination minimum
 - Change of maximum position (EA)



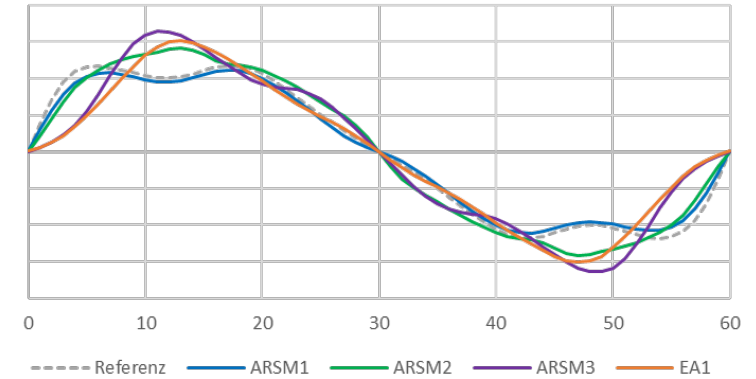
Maximum torque combination



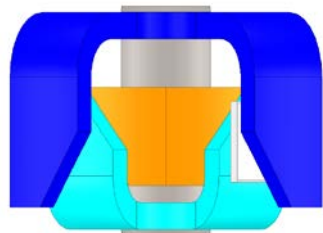
Cogging torque



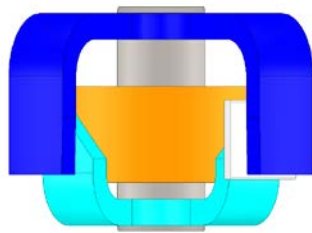
Torque maximum



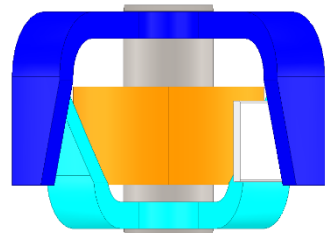
ARSM1



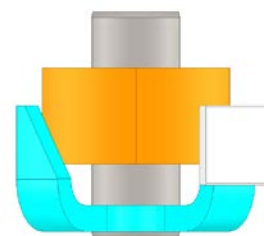
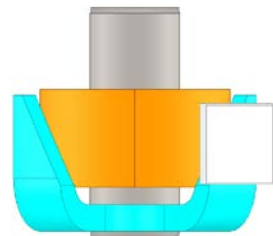
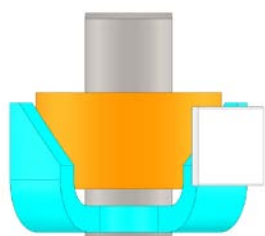
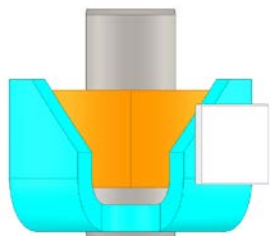
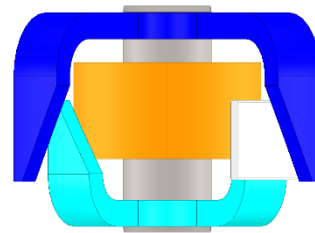
ARSM2



ARSM3



EA1



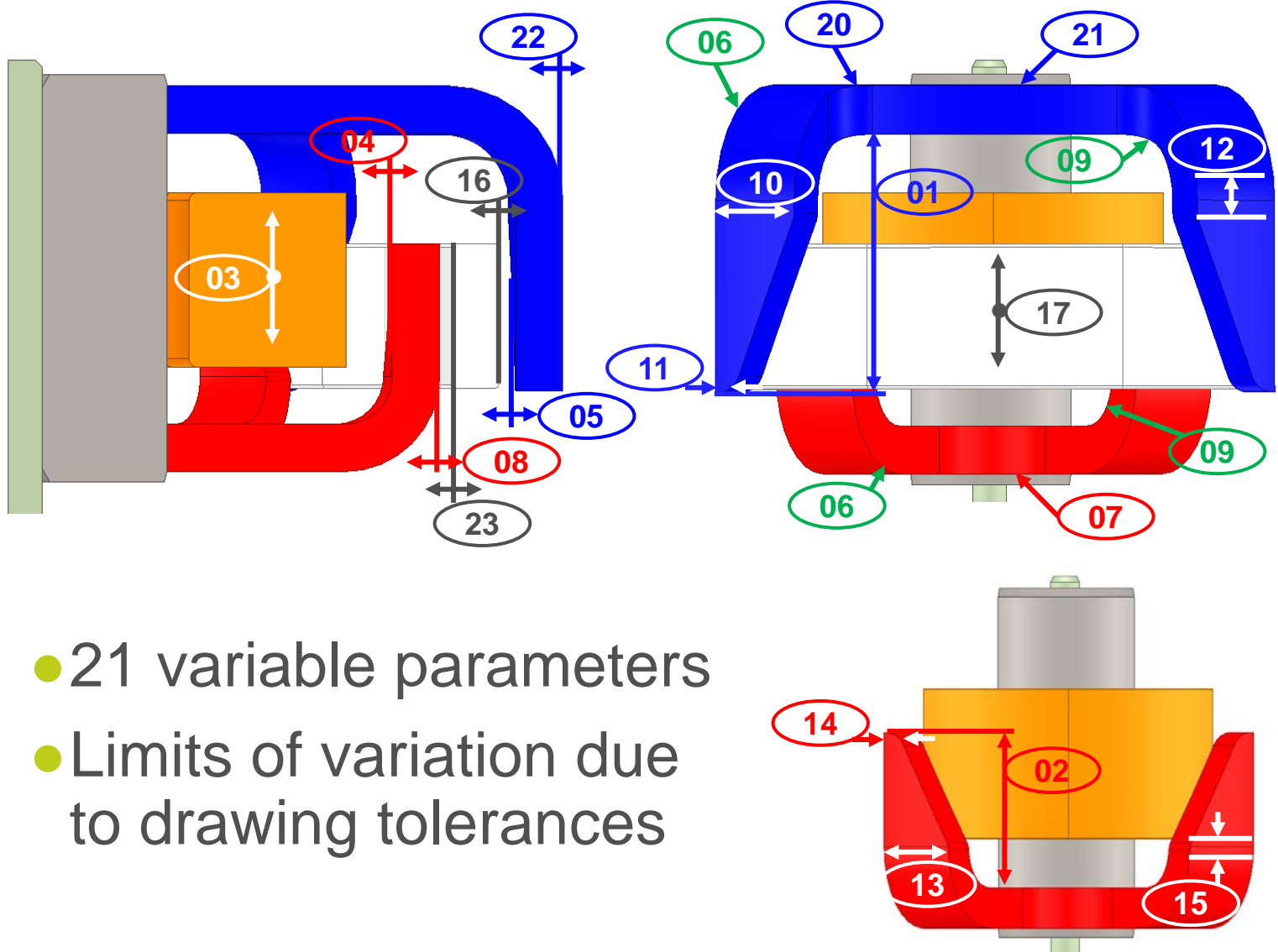
- Recalculated results of MOP with Maxwell
- ARSM1 worse than reference (MOP difference)
- ARSM2 with largest minimal torque
- ARSM3 with largest maximal torque (peak)
- EA1 with maximum torque in central position
- Cogging torque as a constraint
- Major changes in value and orientation of cogging torque

Second sensitivity analysis

Influence of tolerances on cogging and maximum torque



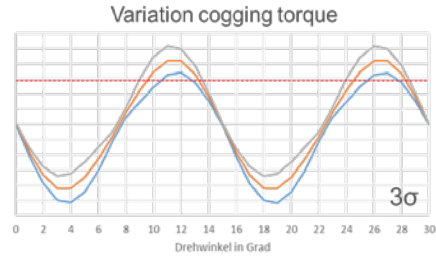
08 Sensitivity with tolerances



- 21 variable parameters
- Limits of variation due to drawing tolerances

- 01: Stator außen Zahn höhe
- 02: Stator innen Zahn höhe
- 03: Spule Verschiebung axial
- 04(D): Stator innen Wandstärke
- 05: Stator außen Durchmesser innen
- 06: Stator Zahn Radius außen
- 07: Stator innen Ausschnitt Radius
- 08: Stator innen Durchmesser außen
- 09: Stator Zahn Radius innen
- 10: Stator außen Zahn Breite Basis
- 11(D): Stator außen Zahn Breite Spitze
- 12: Stator außen Zahn höhe Basis
- 13: Stator innen Zahn Breite Basis
- 14(D): Stator innen Zahn Breite Spitze
- 15: Stator innen Zahn höhe Basis
- 16: Magnet Durchmesser außen
- 17: Magnet Verschiebung axial
- 18*: Stator außen Zahn Winkel (Nicht abgebildet)
- 19*: Stator innen Zahn Winkel (Nicht abgebildet)
- 20: Stator außen Ausschnitt Radius
- 21(D): Stator außen Radius Scheibe
- 22(D): Stator außen Wandstärke
- 23: Magnet Durchmesser innen
- 24*: Stator innen Durchmesser innen (Nicht abgebildet)
- 25*: Stator außen Durchmesser außen (Nicht abgebildet)
- 26*: Stator außen Durchmesser Scheibe (Nicht abgebildet)

09 Sensi. tol. – Cogging torque

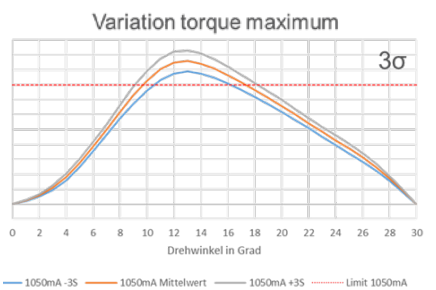


- Influence of tolerances on extreme values can be reduced to 1 major and 4 minor parameters
- CoP with 59% maximum on largest cogging torque



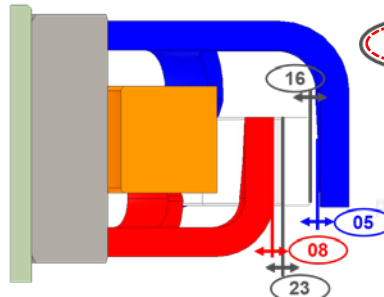
	T0000_30G(0)	T0000_30G(1)	T0000_30G(2)	T0000_30G(3)	T0000_30G(4)	T0000_30G(5)	T0000_30G(6)	T0000_30G(7)	T0000_30G(8)	T0000_30G(9)	T0000_30G(10)	T0000_30G(11)	T0000_30G(12)	T0000_30G(13)	T0000_30G(14)	T0000_30G(15)	T0000_30G(16)	T0000_30G(17)	T0000_30G(18)	T0000_30G(19)	T0000_30G(20)	T0000_30G(21)	T0000_30G(22)	T0000_30G(23)	T0000_30G(24)	T0000_30G(25)	T0000_30G(26)	T0000_30G(27)	T0000_30G(28)	T0000_30G(29)	T0000_30G(30)			
Zahn_A_hoehe_gesamt																																		
Zahn_I_hoehe_gesamt								0.2 %																										100.0 %
Spulenverschiebung	4.7 %																0.7 %																0.3 %	
DAussenStator	16.5 %	6.1 %	7.2 %	4.9 %	2.7 %	2.3 %	1.6 %	1.2 %	4.9 %	2.1 %	2.2 %	3.2 %	4.1 %	6.6 %	7.0 %	13.3 %	9.7 %	5.8 %	4.0 %	2.9 %	1.8 %	1.9 %	4.7 %	4.0 %	1.6 %	1.4 %	3.6 %	4.8 %	5.7 %	9.3 %				
RzwischenZahn																0.7 %																		
DIinnenStator	21.1 %	9.6 %	8.1 %	6.4 %	4.1 %	1.5 %	0.4 %			1.0 %	1.0 %	4.8 %	6.8 %	7.4 %	9.3 %	4.7 %	7.3 %	7.4 %	6.7 %	4.3 %	1.6 %	1.2 %			1.1 %	1.6 %	5.1 %	6.8 %	6.9 %	8.6 %				
Rinnen	17.9 %																26.2 %																	
Zahn_A_breite_Basis		10.4 %	9.5 %	10.6 %	12.3 %	11.8 %	8.5 %	12.5 %	11.0 %	9.4 %	10.0 %	9.6 %	12.0 %	8.2 %	6.3 %	24.1 %	8.7 %	9.5 %	10.9 %	10.3 %	10.6 %	9.3 %	10.9 %	10.1 %	9.2 %	10.8 %	9.9 %	9.8 %	9.1 %	7.6 %				
Zahn_A_hoehe_Basis	3.5 %		6.0 %	6.8 %	6.8 %	5.8 %	5.3 %	7.1 %	5.0 %	5.0 %	7.0 %	6.4 %	8.5 %	5.0 %	4.9 %		2.7 %	5.2 %	7.4 %	6.2 %	6.2 %	4.9 %	5.7 %	6.2 %	5.1 %	6.5 %	5.8 %	7.1 %	5.1 %	2.4 %				
Zahn_I_breite_Basis	15.1 %	2.5 %	1.8 %	2.3 %	1.6 %	1.2 %					1.0 %	1.7 %	1.9 %	1.6 %	2.6 %	41.2 %	3.3 %	1.3 %	2.3 %	1.2 %	1.1 %					0.9 %	1.6 %	2.0 %	1.1 %	3.2 %				
Zahn_I_hoehe_Basis		1.5 %	2.8 %	2.5 %	1.7 %	0.7 %	0.6 %				0.8 %	0.6 %	1.0 %	2.6 %	2.6 %	15.3 %	1.4 %	2.7 %	2.1 %	1.4 %	0.6 %	0.6 %			0.6 %	0.6 %	1.5 %	2.3 %	2.7 %	1.5 %				
MDa		38.1 %	25.9 %	17.2 %	12.6 %	9.2 %	7.7 %	5.5 %	7.7 %	7.1 %	9.1 %	14.4 %	19.9 %	28.6 %	30.1 %		28.7 %	28.3 %	21.3 %	13.2 %	9.5 %	6.6 %	7.9 %	7.6 %	7.2 %	9.8 %	12.6 %	19.7 %	28.9 %	30.3 %				
MRingVerschiebung		9.1 %	14.3 %	27.6 %	44.9 %	60.0 %	69.5 %	71.8 %	68.4 %	67.4 %	59.3 %	44.8 %	25.7 %	15.4 %	7.4 %		11.3 %	16.1 %	26.9 %	44.3 %	59.8 %	70.5 %	65.3 %	67.6 %	68.6 %	59.5 %	45.1 %	26.7 %	15.1 %	11.0 %				
Zahn_A_Winkel	6.0 %		1.2 %	2.1 %	1.3 %	1.5 %	1.0 %	1.2 %	2.1 %	1.5 %	1.5 %	2.7 %	1.9 %	2.6 %	1.0 %	20.5 %	1.0 %	1.8 %	1.8 %	2.5 %	1.9 %	1.8 %	2.1 %	2.0 %	1.7 %	1.8 %	2.2 %	1.9 %	1.6 %	0.7 %				
Zahn_I_Winkel			0.5 %	0.6 %	0.1 %	0.4 %					0.9 %	0.4 %	0.8 %	0.1 %	0.7 %				0.7 %	0.4 %	0.6 %	0.5 %				0.6 %	0.5 %	0.6 %	0.8 %					
RzwischenZahn_aussen															0.4 %																			
MDi		24.1 %	21.2 %	16.8 %	11.8 %	5.8 %	4.0 %	2.4 %	1.5 %	3.9 %	7.0 %	11.7 %	15.6 %	20.1 %	25.1 %		26.3 %	20.5 %	15.8 %	12.6 %	6.2 %	3.1 %	2.1 %	1.9 %	3.4 %	6.8 %	12.7 %	15.8 %	21.3 %	27.5 %				
DIinnenStator_I	52.2 %	0.6 %	2.0 %	2.4 %	1.2 %	0.6 %	0.6 %				0.5 %	1.2 %	2.3 %	2.2 %	2.1 %	25.8 %	0.9 %	3.2 %	2.7 %	1.0 %	0.5 %					0.9 %	1.1 %	2.4 %	2.8 %	0.8 %				
DAussenStator_A			0.2 %																															
DScheibe_AS	9.6 %																																	
Total	92 %	99.7 %	100 %	100 %	100 %	100 %	99.5 %	100 %	100 %	99.4 %	100 %	100 %	100 %	100 %	99.2 %	83.5 %	100 %	100 %	100 %	100 %	100 %	98.8 %	99.6 %	99.6 %	98.8 %	100 %	100 %	100 %	100 %	100 %	100 %			

09 Sensi. tol. – Torque Maximum



- Influence of tolerances on maximum torque can be reduced to 4 important parameters
- CoP values vary between 14% and 33%

	T1050_30G(0)	T1050_30G(1)	T1050_30G(2)	T1050_30G(3)	T1050_30G(4)	T1050_30G(5)	T1050_30G(6)	T1050_30G(7)	T1050_30G(8)	T1050_30G(9)	T1050_30G(10)	T1050_30G(11)	T1050_30G(12)	T1050_30G(13)	T1050_30G(14)	T1050_30G(15)	T1050_30G(16)	T1050_30G(17)	T1050_30G(18)	T1050_30G(19)	T1050_30G(20)	T1050_30G(21)	T1050_30G(22)	T1050_30G(23)	T1050_30G(24)	T1050_30G(25)	T1050_30G(26)	T1050_30G(27)	T1050_30G(28)	T1050_30G(29)	T1050_30G(30)					
Zahn_A_hoehe_gesamt	20.8 %																																			
Zahn_I_hoehe_gesamt																																				
Spulenverschiebung																																				
05 → DAussenStator	27.3 %	1.7 %	2.0 %	0.8 %		0.7 %	2.6 %	7.2 %	10.4 %	10.6 %	10.8 %	13.4 %	13.5 %	14.0 %	14.0 %	14.9 %	16.4 %	16.7 %	16.2 %	14.4 %	12.5 %	7.8 %	4.8 %	4.6 %	2.3 %	2.2 %	1.8 %	2.2 %	3.4 %	3.1 %						
RzwischenZahn																																				
08 → DInnenStator					3.5 %	10.8 %	18.3 %	21.9 %	19.2 %	16.6 %	15.0 %	16.3 %	18.4 %	18.2 %	18.0 %	19.4 %	20.6 %	21.0 %	22.1 %	22.6 %	26.0 %	26.7 %	27.3 %	21.3 %	16.1 %	14.4 %	15.2 %	13.5 %	12.0 %	13.0 %						
RInnen																																				
Zahn_A_breite_Basis	27.1 %	8.3 %	4.4 %	2.4 %	2.3 %	0.7 %		1.9 %	3.6 %	3.6 %	3.7 %	2.5 %	1.1 %	1.0 %									0.9 %	4.0 %	7.1 %	8.9 %	8.4 %	7.2 %	6.3 %	5.1 %						
Zahn_A_hoehe_Basis			1.9 %	1.8 %	1.2 %			0.7 %	2.1 %	2.0 %	2.1 %	1.1 %	0.7 %										0.5 %	2.7 %	4.5 %	4.6 %	4.9 %	4.5 %	4.2 %	1.7 %				100.0 %		
Zahn_I_breite_Basis			4.8 %	4.7 %	4.1 %	3.2 %	3.8 %	2.7 %	2.1 %	1.1 %	0.7 %	0.4 %											0.9 %	2.0 %	4.0 %	5.2 %	5.7 %	5.9 %	7.2 %	8.7 %	6.6 %	9.3 %				
Zahn_I_hoehe_Basis				0.7 %	1.2 %	2.2 %	2.9 %	2.7 %	1.9 %	1.1 %	1.1 %	0.8 %	0.5 %										0.3 %	1.1 %	1.4 %	2.0 %	2.3 %	2.9 %	2.7 %	2.8 %	2.4 %					
16 → MDa		11.5 %	5.1 %	0.7 %		2.2 %	10.1 %	21.0 %	24.4 %	25.6 %	26.5 %	27.6 %	29.9 %	31.3 %	31.4 %	30.3 %	29.9 %	28.7 %	28.6 %	26.6 %	20.3 %	17.6 %	15.4 %	14.2 %	11.9 %	11.7 %	12.7 %	15.4 %	18.0 %	22.4 %						
MRingVerschiebung		76.2 %	79.0 %	87.9 %	82.0 %	64.0 %	32.5 %	4.0 %	2.4 %	7.6 %	9.8 %	6.9 %	4.1 %	2.8 %	2.0 %	1.9 %	1.2 %	0.5 %		2.9 %	7.5 %	7.3 %	1.8 %	1.5 %	9.1 %	11.1 %	6.7 %	3.3 %	1.6 %	1.7 %						
Zahn_A_Winkel	20.6 %	2.0 %	0.8 %	0.8 %	0.6 %				0.5 %	0.7 %	0.6 %	0.5 %																								
Zahn_I_Winkel	2.0 %																																			
RzwischenZahn_aussen																																				
23 → MDi				0.8 %	5.1 %	13.4 %	24.9 %	35.1 %	31.2 %	27.5 %	29.3 %	29.0 %	31.0 %	30.6 %	33.1 %	34.1 %	33.6 %	33.6 %	31.3 %	29.9 %	27.3 %	26.5 %	24.9 %	22.2 %	17.3 %	16.1 %	16.2 %	17.7 %	20.1 %	18.3 %						
DInnenStator_I	26.3 %	0.8 %	0.0 %	0.4 %	1.3 %	2.6 %	3.2 %	3.5 %	2.0 %	1.5 %	1.0 %	0.7 %	0.9 %									1.9 %	4.7 %	11.4 %	18.9 %	23.1 %	23.1 %	21.4 %	24.0 %	23.1 %	22.8 %	19.4 %				
DAussenStator_A																							0.5 %	0.6 %	0.4 %	0.5 %	0.4 %	0.3 %	0.2 %							
DScheibe_AS	31.3 %																																			
Total	61.9 %	100 %	99.3 %	99.6 %	99.7 %	99.2 %	99.3 %	99.5 %	99.6 %	99.5 %	99.7 %	99.7 %	99.1 %	98.8 %	99.5 %	99.5 %	99.4 %	99.2 %	98.3 %	98.8 %	99.1 %	99.9 %	99.9 %	99.9 %	99.8 %	99.6 %	100 %	100 %	100 %	100 %	99.7 %	100 %				



- The sensitivity analysis made it possible to identify the valid parameters for the requested torque curves
- With the MOP and its possibility as a solver, it was possible to successfully do different optimizations
- A model with all important tolerances was able to identify and validate the important parameters and its statistics
- In future analyses, the asymmetric effects on the curves and more complex system simulations are planned



Thank you for your attention!

Ansys
WO**ST**

WORKSHOP

